

ИЗВЕСТИЯ  
ТОМСКОГО ОРДENA ТРУДОВОГО КРАСНОГО ЗНАМЕНИ ПОЛИТЕХНИЧЕСКОГО  
ИНСТИТУТА имени С. М. КИРОВА

Том 138

1965

ВЛИЯНИЕ СООТНОШЕНИЙ ОСНОВНЫХ РАЗМЕРОВ  
ЭЛЕКТРОМАГНИТОВ КЛАПАННОГО ТИПА НА ЭНЕРГИЮ  
МАГНИТНОГО ПОЛЯ РАССЕЯНИЯ

А. В. КУРНОСОВ

(Представлена научным семинаром каф. «Электрические машины и аппараты»  
и «Общая электротехника»)

Массовое применение электромагнитов в аппаратуре автоматики и телемеханики, радиотехники, приборостроении и др. ставит на очередь задачу довести теоретический расчет электромагнитов во всех отношениях на такой же уровень, на котором находится, например, в настоящее время расчет электрических машин. Решение этой задачи должно пойти по пути систематизации накопленного производственного опыта изготовления электромагнитов и нахождения условий, соответствующих рациональному использованию активных материалов.

Расход активных материалов в первую очередь зависит от правильного выбора основных геометрических соотношений размеров электромагнита, которые оказывают непосредственное влияние на магнитное поле рассеяния.

Наличие потоков рассеяния в электромагнитном механизме намного усложняет его расчет. Практически при всех встречающихся соотношениях размеров потоки рассеяния соизмеримы с главным потоком, и их необходимо учитывать при расчете электромагнитов. Так, в [1 и 2] даны значения коэффициентов рассеяния для некоторых электромагнитных механизмов, где  $\delta = 1.8 - 3$  при разомкнутом положении якоря электромагнита. Поэтому представляет интерес исследовать влияние соотношений основных геометрических размеров на характер изменения потока рассеяния.

Как и основной поток, определяемый магнитной энергией, запасенной в рабочем воздушном зазоре, поле рассеяния можно характеризовать магнитной энергией рассеяния  $W_{mp}$ , которая в свою очередь зависит от соотношений основных геометрических размеров электромагнита.

Магнитное поле рассеяния характеризуется проводимостью потока утечки  $\Phi_y$ . На рис. 1 представлена электромагнитная система, у кото-

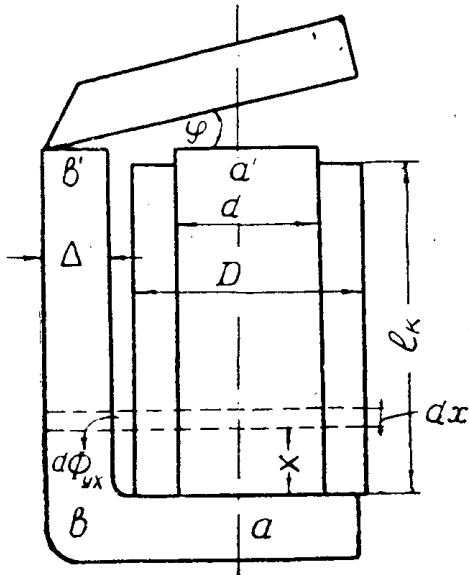


Рис. 1. Эскиз электромагнита.

рой разность магнитных потенциалов между корпусом и сердечником изменяется с ростом координаты  $x$ . В этом случае при пренебрежении насыщением магнитопровода разность магнитных потенциалов между точками  $a$  и  $b$  равна нулю, а вверху, между точками  $a^1$  и  $b^1$ , имеется полная разность потенциалов, определяемая м.д.с. катушки. В связи с этим при вычислении  $W_{mp}$  необходимо найти выражение потокосцепления рассеяния  $\Psi_p$  через проводимость потока утечки, учитывающей характер распределения разности магнитного потенциала по длине  $l_k$ .

Энергию магнитного поля рассеяния можно представить как

$$W_{mp} = \int_0^I \Psi_p di. \quad (1)$$

Потокосцепление рассеяния на элементарном участке  $dx$  на расстоянии  $x$  от начала катушки можно выразить как [3]

$$d\Psi_{px} = d\Phi_{yx} W_x, \quad (2)$$

где поток утечки  $d\Phi_{yx} = \frac{IW}{l_k} x g dx$ . Число витков на длине  $x$  можно определить как

$$W_x = W \cdot x / l_k,$$

тогда  $\Psi_p = \int_0^{l_k} IW \cdot x / l_k \cdot g W \cdot x / l_k \cdot dx = IW^2 \frac{gl_k}{3}.$  (3)

Подставив (3) в (1), получим

$$W_{mp} = (IW)^2 \frac{gl_k}{6}. \quad (4)$$

Для нахождения зависимости энергии магнитного поля рассеяния от соотношений основных геометрических размеров электромагнита необходимо в выражении (4) выразить  $IW$  через геометрические параметры электромагнита. Это можно сделать, если предположить, что:

а) сечение стали  $Q_{fe}$  вдоль длины магнитопровода постоянным;  
б) при непрятанном положении якоря вся м. д. с.  $IW$  обмотки расходуется на проведение магнитного потока через рабочий воздушный промежуток (насыщением стали пренебрегаем);

в) при притянутом положении якоря вся м. д. с. обмотки расходуется на проведение магнитного потока вдоль длины  $l_{fe}$  магнитопровода;

г) гистерезисом за неполный цикл работы электромагнита пренебрегаем;

д) после срабатывания электромагнит длительно находится под током и достигает установившейся температуры превышения над окружающей средой  $t$ ;

ж) ток  $I$  в обмотке во время движения якоря электромагнита остается постоянным и равен установленному значению.

$IW$  можно выразить как  $H \cdot l_{fe}$ , где  $H$  — напряженность магнитного поля магнитопровода в замкнутом положении якоря. Напряженность магнитного поля в однородной магнитной цепи, соответствующая ампервиткам трогания  $AW_{tr}$ , равна

$$H = \frac{jK_3 Q_0}{1,65 l_{fe}}, \quad (5)$$

здесь  $j$  — плотность тока в обмотке;

$K_3$  — коэффициент заполнения обмотки;

$Q_0$  — площадь сечения обмотки;

$$1,65 = AW_{\text{гор}}/AW_{\text{тр}} [4].$$

$AW_{\text{гор}}$  — допустимые по нагреву ампер-витки обмотки. Допустимая плотность тока в обмотке может быть определена равенством:

$$j^2 \rho V_{\text{ок}} K_3 = K_{\text{то}} S_0 \tau, \quad (6)$$

где  $K_{\text{то}}$  — коэффициент теплоотдачи с поверхности;

$S_v = (S_h + \alpha S_b)$  [4] — теплоотдающая поверхность обмотки;

$S_h$  — наружная поверхность обмотки;

$S_b$  — внутренняя поверхность обмотки;

$\alpha$  — коэффициент;

$\rho$  — удельное сопротивление провода обмотки.

Подставим значение из (6) в (5), получим

$$H = \frac{K_0 \sqrt{S_0 V_{\text{ок}}}}{l_{fe} l_{\text{м.ср.}}}, \quad (7)$$

где

$$K_0 = \sqrt{\frac{K_{\text{то}} K_3 \tau}{1,65^2 \rho}}.$$

Подставив вместо  $IW$  в (4)  $H \cdot l_{fe}$ , получим выражение для энергии поля рассеяния через электромагнитные и геометрические параметры электромагнита

$$W_{\text{мр}} = \frac{K_0^2 S_0 V_{\text{ок}} l_k g}{6 l_{\text{м.ср.}}^2}, \quad (8)$$

здесь  $V_{\text{ок}}$  — объем обмотки,

$l_{\text{м.ср.}}$  — средняя длина витка обмотки.

Для электромагнита клапанного типа, у которого ширина ярма примерно равна  $(1,25-2,5)D/2$  (в нашем случае ширина ярма равна  $2D/2$ ) можно воспользоваться приближенной формулой [2] для определения удельной проводимости потока утечки между цилиндром и параллельной плоскостью, которая определяется как

$$g = \frac{K_a 2\pi \mu_0}{\ln(2n + \sqrt{4n^2 - 1})}, \quad (9)$$

где  $K_a = 0,85 - 0,92$  — поправочный коэффициент [2]

$$n = \frac{D/2}{d}.$$

Подставим выражение (9) в (8).

Для нахождения зависимости энергии магнитного поля рассеяния от соотношений основных геометрических размеров электромагнита отнесем полученное выражение к сумме объемов активных материалов, т. е. будем находить зависимость удельной энергии магнитного поля рассеяния от соотношений основных геометрических размеров  $X = d/D$  и  $Y = l_k/D$ . Анализ проведем на электромагните клапанного типа (рис. 1) в случае, когда  $\alpha = 1$ , так как это несколько упростит выражение удельной энергии поля рассеяния без значительного влияния на характер кривых  $\Gamma(X, Y)$ .

Выразив в правой части вновь полученного выражения все геометрические параметры через относительные величины  $X$  и  $Y$ , а абсолютные электромагнитные параметры и базовый размер вынеся

в левую часть выражения, получим в правой части геометрический фактор  $\Gamma(X, Y)$ , характеризующий зависимость электромагнитной энергии, запасенной в магнитном поле рассеяния электромагнита в функции соотношений основных геометрических размеров

$$\frac{W_{mp}}{K_0 D (V_{fe} + V_{ok})} = \frac{Y^3 (I - X)}{(2,36 \cdot X^4 + X^2 Y + X^2 + Y) \ln \left( \frac{I + \sqrt{I - X^2}}{X} \right)}, \quad (10)$$

здесь  $K_0 I = \frac{4K_a \mu_0 K_0^2}{3}$ .

Кривые  $\Gamma(X, Y)$  строились в функции  $X$  при различных постоянных значениях  $Y$  (рис. 2). Из кривых  $\Gamma(X, Y)$ , а также из (10) видно, что

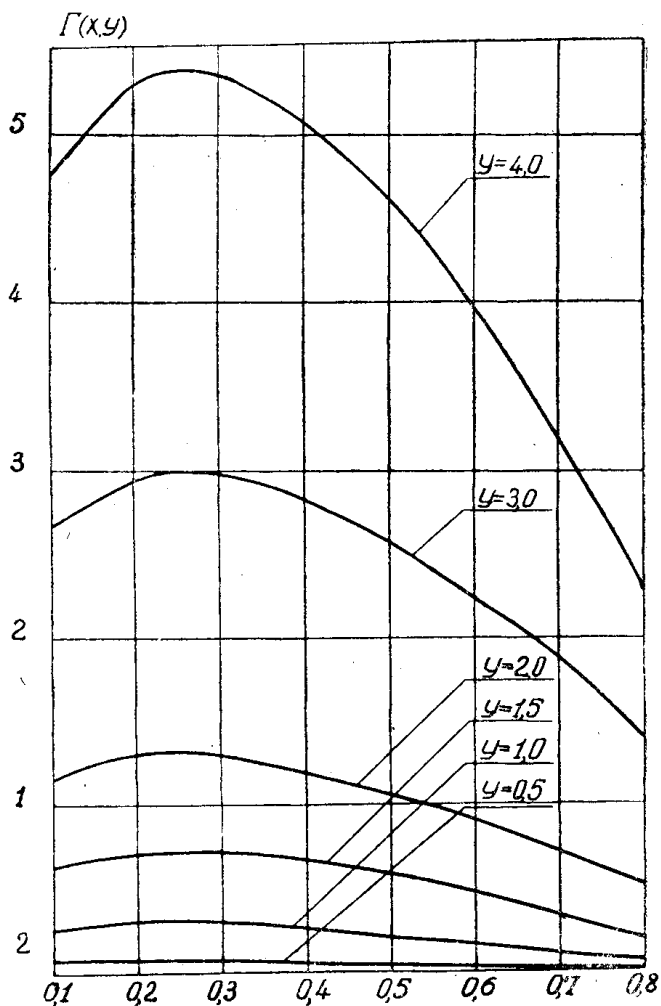


Рис. 2. Геометрический фактор, характеризующий энергию магнитного поля рассеяния электромагнита клапанного типа.

в большой степени на характер изменения геометрического фактора влияет  $Y$ . При  $Y \geq 3$  резкое возрастание геометрического фактора магнитного поля рассеяния, а следовательно, возрастание удельной магнитной энергии, запасенной в поле рассеяния электромагнита кла-

панного типа, подсказывает нецелесообразность применения  $Y \geq 3$ . Кроме того, максимум геометрического фактора магнитного поля рассеяния наступает при  $X = 0,25$  для  $\alpha = 1$ .

Кривые (рис. 2) представляют ценность в отношении наглядного представления характера зависимости удельной энергии магнитного поля рассеяния от соотношений основных геометрических размеров электромагнита постоянного тока клапанного типа.

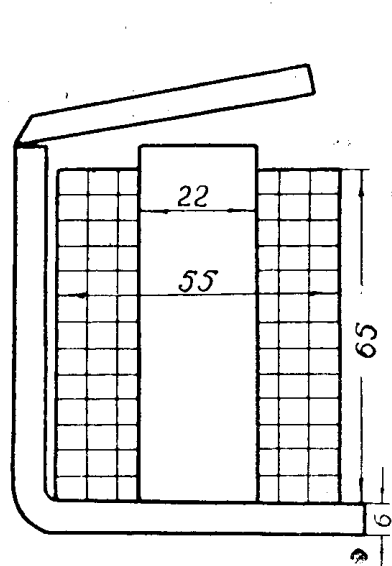


Рис. 3. Макет электромагнита с  $X = 0,39$ ;  $Y = 1,18$ .

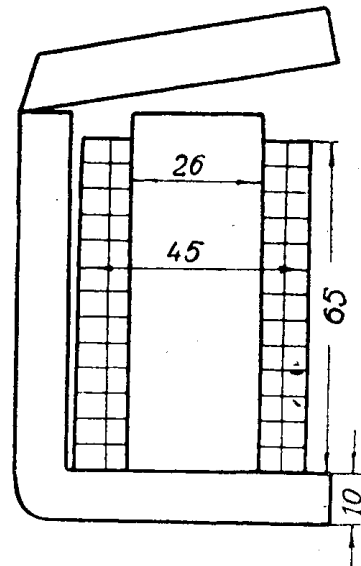


Рис. 4. Макет электромагнита с  $X = 0,59$ ;  $Y = 1,4$ .

Для проверки теоретических выводов было изготовлено ряд макетов электромагнитов с различными значениями  $X$  и  $Y$ . Расчет макетов производился с учетом выполнения определенной механической

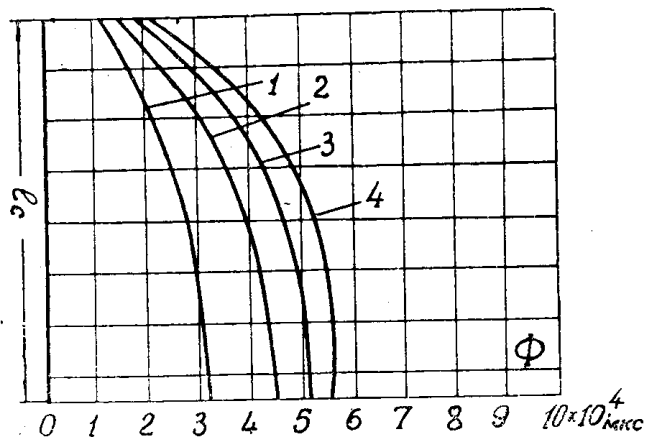


Рис. 5. Распределение магнитного потока по длине сердечника  $l_c$  для макета № 1 при начальном воздушном промежутке  $\delta_n = 6$  мм. 1— $IW = 1580$  ав; 2— $IW = 2380$  ав; 3— $IW = 3160$  ав; 4— $IW = 3960$  ав.

работы. В качестве примера на рис. 3 и рис. 4 представлены два макета, у которых высота катушек одинакова и равна 6,5 см, а диаметры сердечников разные. Так  $d_1 = 2,2$  см,  $d_2 = 2,6$  см.

На рис. 5 и рис. 6 представлены соответственно кривые распределения потоков вдоль сердечников для первого макета с  $X = 0,39$  и  $Y = 1,18$ , и второго — с  $X = 0,59$  и  $Y = 1,4$ . При выполнении одной

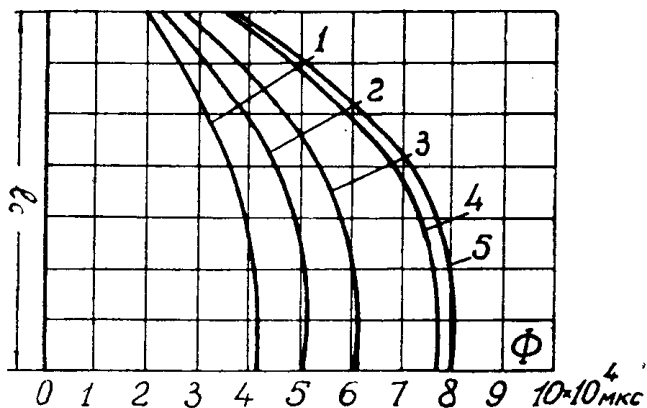


Рис. 6. Распределение магнитного потока по длине сердечника  $l_c$  для макета № 2 при начальном воздушном промежутке  $\delta_n = 6$  мм. 1 —  $IW = 978$  ав; 2 —  $IW = 1210$  ав; 3 —  $IW = 1485$  ав; 4 —  $IW = 2000$  ав; 5 —  $IW = 2150$  ав.

и той же работы  $\sigma_1 \approx 2,7$ , а  $\sigma_2 \approx 2$ . Причем для первого макета расход меди составил на 30% больше, чем для второго, а стали — на 10% меньше.

### Выводы

а) Применение  $X=0,25$  и близких к нему значений в электромагните клапанного типа, как это следует из рис. 2, нецелесообразно. Значение  $X$  должно выбираться при проектировании электромагнита справа от  $X=0,25$ , так как выбор слева приводит к резкому возрастанию расхода такого дорогостоящего и дефицитного материала, как медь. Значение  $Y$  должно ограничиваться в пределах 2—3, так как дальнейшее увеличение приводит к резкому увеличению поля рассеяния.

б) Экспериментальная проверка подтвердила правильность теоретических выводов. Так, электромагниты, у которых  $X$  было выбрано такое же, как у существующих электромагнитов в промышленности ( $X=0,32$ — $0,45$ ), имеют большие  $\sigma$ , чем макеты электромагнитов с  $X=0,55$ — $0,6$ . Причем, макеты с  $X=0,32$ — $0,45$  имеют повышенный расход активных материалов.

### ЛИТЕРАТУРА

1. Ф. А. Ступель. Расчет и конструкция электромагнитных реле. Госэнергоиздат, 1950.
2. А. В. Гордон и А. Г. Сливинская. Электромагниты постоянного тока. Госэнергоиздат, 1960.
3. Н. Е. Лысов. Расчет электромагнитных механизмов. Госэнергоиздат, 1949 г.
4. М. Г. Кобленц. Выбор оптимальных соотношений меди и стали в аппаратах постоянного тока. Вестник электропромышленности, № 11, 1961.